

## ФИЗИКА ТВЕРДОГО ТЕЛА

УДК 539.26; 548.7

**СТРУКТУРНЫЕ ПРЕВРАЩЕНИЯ Fe-MgO КАТАЛИЗАТОРА  
В ПРОЦЕССЕ ПИРОЛИЗНОГО СИНТЕЗА УГЛЕРОДНЫХ  
НАНОМАТЕРИАЛОВ**

**А. А. Новакова, Ю. В. Ильина, Е. И. Степанов, Э. Г. Раков<sup>\*)</sup>, Н. Н. Юферев<sup>\*)</sup>**

(кафедра физики твердого тела)

E-mail: novakova@nm.ru

**Исследование структурных превращений катализатора Fe-MgO в ходе пиролизного синтеза углеродных наноматериалов было проведено методами мёссбауэровской спектроскопии и рентгеновской дифракции. Были выявлены инертные (твердый раствор на основе MgO) и активные, очень мелкие частицы катализатора ( $MgFe_2O_4$ ), которые задействованы в процессе образования углеродных нановолокон. С помощью измерения температурной зависимости мёссбауэровских спектров катализатора, снятых в области температур 80–300 К, был определен средний размер этих активных к образованию углеродных нанопродуктов частиц катализатора.**

### Введение

Наиболее распространенными методами получения углеродных нанотрубок и нановолокон являются возгонка графита с последующей десублимацией и пиролиз углеводородов. Пиролиз не требует столь высоких температур, которые необходимы для возгонки графита, не связан с большими затратами энергии, может быть реализован в обычных химических аппаратах при использовании дешевого углеводородного сырья. Низкие температуры синтеза определяют относительно малое количество примесей других форм углерода: при получении нановолокон оно может быть снижено до 1–3% (при дуговом синтезе оно составляет 50–60%) [1].

В том и другом синтезе углеродные наноматериалы образуются в присутствии катализатора, в качестве которого используются Fe, Co, Ni или их сплавы между собой и с другими металлами [2].

Специфика катализаторов, предназначенных для получения нановолокон и особенно углеродных нанотрубок, состоит в том, что помимо их химического состава важную роль играет размер частиц металла. Этот размер трудно задавать заранее, и лишь изменением метода или условий синтеза удается из частиц катализаторов одинакового состава получить наиболее активные. Структурное состояние и химический состав компонентов катализатора в ходе пиролиза может меняться.

Целью настоящей работы было исследование структурных превращений катализатора Fe-MgO в ходе пиролиза метана с помощью методов мёссбауэровской спектроскопии и рентгеновской дифракции.

### Методика эксперимента

Для получения катализатора были использованы растворы  $Fe(NO_3)_2 \cdot 6H_2O$  и  $Mg(NO_3)_2 \cdot 6H_2O$  с ли-

монной кислотой, который затем был прогрет при температуре 600°C в течение 15 мин. Соотношение между Fe и Mg составляло в массовых процентах 20 и 80 соответственно. Полученный таким образом катализатор помещался в лодочке, подвешенной к весам, в реактор пиролизного синтеза.

Пиролизный синтез проводился в непрерывно действующем реакторе для гравиметрических измерений каталитическим пиролизом метана при температуре 900°C. Для того чтобы проследить за структурными превращениями, которые произошли в катализаторе в процессе синтеза, в качестве первого образца был выбран исходный катализатор, а в качестве второго образца — катализатор, использованный в процессе пиролизного синтеза с образовавшимся на нем углеродным наноматериалом. Третьим образцом был отмытый от катализатора соляной кислотой углеродный нанопродукт.

Структурный анализ образцов проводился методом рентгеновской дифракции на рентгеновском дифрактометре Rigaku D/Max с использованием  $Cu-K\alpha$  излучения и графитового монохроматора. Оценка размера наночастиц проводилась по уширению разрешенных структурных максимумов методом Шеррера.

Мёссбауэрская диагностика продуктов синтеза проводилась на мёссбауэровском спектрометре электродинамического типа «Мёссбауэрская лаборатория». Мёссбауэрские спектры снимались в геометрии поглощения при 300 и 80 К. В качестве источника  $\gamma$ -излучения служил изотоп  $Co^{57}(Rh)$  с активностью 50 мКи. Моделирование экспериментальных спектров осуществлялось с использованием программы обработки мёссбауэровских спектров UnivemMS.

<sup>\*)</sup> Российский химико-технологический университет им. Д. И. Менделеева, Москва, Россия.

## Экспериментальные результаты и их обсуждение

На рис. 1, а представлена дифракционная картина от образца чистого катализатора. На ней присутствуют структурные максимумы, отвечающие оксиду магния  $MgO$ , а также слабые, сильно уширенные пики, которые соответствуют магнезиоферриту  $MgFe_2O_4$ . Размер кристаллитов  $MgO$ , определенный по полуширине дифракционных максимумов методом Шеррера составил порядка 100 Å. Частицы  $MgFe_2O_4$  имеют соответственно гораздо меньшие размеры, точно оценить которые с помощью рентгendifракционного анализа не представляется возможным, так как рефлексы отражений более высоких порядков имеют очень низкую интенсивность. Положения максимумов  $MgO$ , рассчитанные с помощью специальной программы, показали, что они сдвинуты в среднем на  $0.1^\circ$ , относительно табличных значений, т. е. параметр решетки  $MgO$  в исследуемом образце, увеличился на  $0.015 \text{ \AA}$  по сравнению с чистым оксидом  $Mg$ . Это свидетельствует о том, что в решетке  $MgO$  растворено некоторое количество Fe.

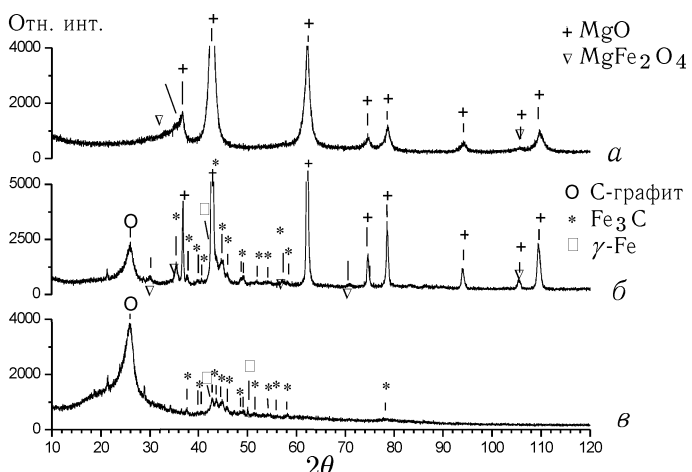


Рис. 1. Дифрактограммы образцов: а — исходный катализатор, б — катализатор с образовавшимся на нем углеродным нанопродуктом, в — отмытый углеродный нанопродукт

Более подробную информацию о микроструктуре исследуемого материала позволил получить метод мёссбауэровской спектроскопии. Так как этот метод чувствителен только к железосодержащим соединениям, то мы не можем увидеть на спектрах компоненту, соответствующую чистому оксиду магния. Математическое моделирование мёссбауэровского спектра образца исходного катализатора представлено на рис. 2, а. В этом спектре можно выделить хорошо разрешенный дублет с параметрами, характерными для наночастиц магнезиоферрита  $MgFe_2O_4$ . Ширина дублетной компоненты ( $\Gamma = 0.64 \text{ мм/с}$ ) позволяет сделать заключение о том, что катализатор находится в суперпарамагнитном состоянии.

Для того чтобы определить размер частиц магнезиоферрита, мы проследили за температурной зависимостью мёссбауэровских спектров. В форме

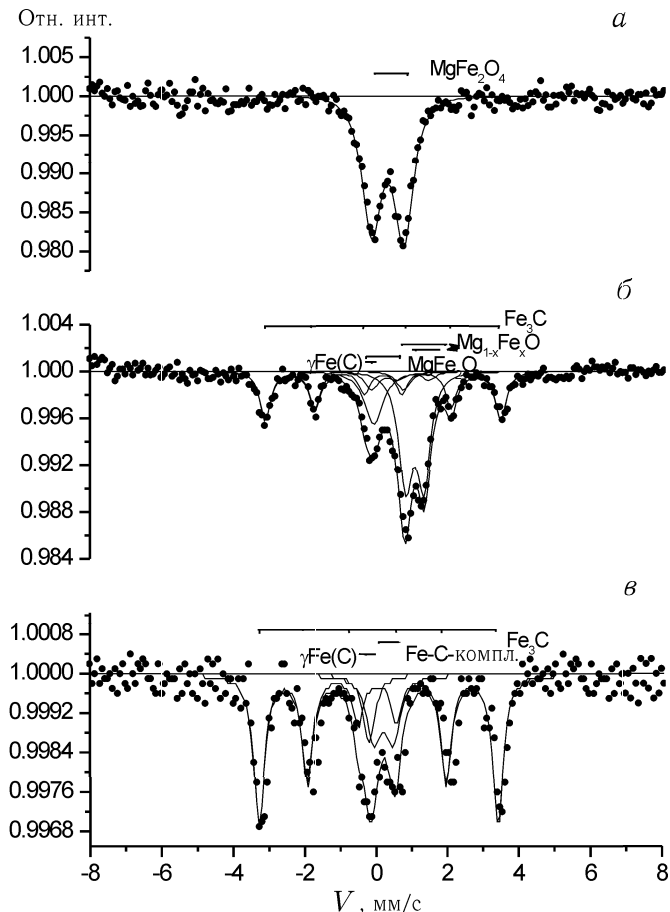


Рис. 2. Мёссбауэровские спектры образцов: а — исходный катализатор, б — катализатор с образовавшимся на нем углеродным нанопродуктом, в — отмытый углеродный нанопродукт

спектра, снятого при азотной температуре (80 K), не выявлено изменений по сравнению с предыдущим, полученным при комнатной температуре (300 K), кроме небольшого температурного сдвига и увеличения интенсивности спектра (рис. 3). Это свидетельствует о том, что оксидные частицы катализатора размером  $\sim 10 \text{ нм}$  находятся в высокодисперсном состоянии [3].

На рис. 1, б показана дифрактограмма образца катализатора, использованного в пиролизном синтезе. Она содержит структурные максимумы принадлежащие  $MgO$ , магнезиоферриту  $MgFe_2O_4$ , образовавшемуся карбиду железа  $Fe_3C$ ,  $\gamma$ -Fe и графиту. Как и в случае чистого катализатора, структурные максимумы оксида магния сдвинуты относительно своего табличного значения и параметр решетки увеличен по сравнению с исходным катализатором на  $0.01 \text{ \AA}$ , что говорит об увеличении концентрации железа в решетке  $MgO$ . Чтобы яснее представить картину структурных и химических превращений в катализаторе, на рис. 2, б, представлен мёссбауэровский спектр этого же образца. Подробный математический анализ позволил разрешить в нем магнитно-расщепленный шестикомпонентный подспектр с параметрами, характерными для карбida железа (эффективное поле  $H = 205 \text{ кЭ}$ , квадру-

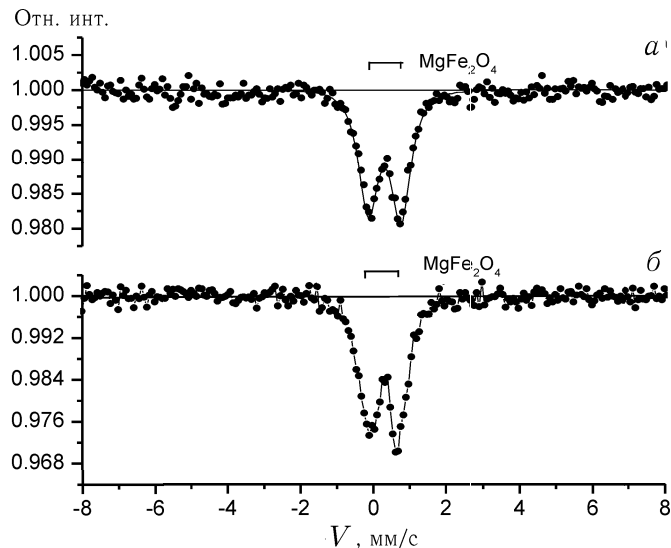


Рис. 3. Мёссбауэрский спектр образца исходного катализатора: *а* — снятый при комнатной температуре (300 К), *б* — при температуре азота (80 К)

польное расщепление  $\Delta Q = 0.01$  мм/с, изомерный сдвиг  $\delta = 0.11$  мм/с). Эта компонента мёссбауэровского спектра составляет около 30% от всей площади спектра. Из спектра также выделен слабоинтенсивный дублет ( $\Delta Q = 0.9$  мм/с,  $\delta = 0.32$  мм/с), который соответствует магнезиоферриту и отвечает за остатки исходного катализатора. Он составляет в спектре приблизительно 7% от общей площади. Это существенное уменьшение площади дублета по сравнению со спектром исходного катализатора позволяет говорить о том, что в процессе синтеза магнезиоферрит претерпевает сложные структурные и химические превращения и участвует в процессе образования как  $\text{Fe}_3\text{C}$ , так и углеродных нанотрубок и нановолокон.

В рассматриваемом спектре присутствуют два дублетных подспектра, анализ которых позволяет отнести их к двум неэквивалентным положениям ионов двухвалентного железа в твердом растворе  $\text{Mg}_{1-x}\text{F}_x\text{O}$ . С помощью соотношения интенсивностей двух дублетов в мёссбауэровском спектре можно определить количество железа, вошедшего в решетку  $\text{MgO}$ , оно составляет 0.15 атомного процента [4]. Центральный немагнитный синглет ( $\delta = -0.07$ ) относится к фазе  $\gamma\text{-Fe}(\text{C})$ . Его изомерный сдвиг смешен относительно изомерного сдвига чистого железа ( $\delta = -0.05$ ) влево, что характерно для концентрации углерода в образце порядка 1.5% [5].

На рентгенодифракционной картине продукта синтеза присутствуют широкий асимметричный пик, соответствующий аморфному углероду и углеродным нитевидным образованиям [6], множество пиков карбида железа  $\text{Fe}_3\text{C}$  и несколько слабых максимумов, отвечающих фазе  $\gamma\text{-Fe}$  (рис. 1, *в*).

На рис. 2, *в* представлен мёссбауэровский спектр образца продукта синтеза, очищенного от катализатора. Так как содержание железа в этом образце крайне незначительно, математическая обработка спектра представляла собой сложную задачу. В ре-

зультате в мёссбауэровском спектре было выделено три подспектра. Первая и самая интенсивная компонента в спектре относится к карбиду железа  $\text{Fe}_3\text{C}$  (около 77%). Эта же компонента присутствует и на рентгенодифракционной картине (рис. 1, *в*). Слабый немагнитный синглет имеет параметры, характерные для  $\gamma\text{-Fe}$ , а дублетную компоненту с параметрами ( $\Delta Q = 0.55$  мм/с,  $\delta = 0.2$  мм/с) можно отнести к железомагнийграфитовому комплексу. Аналогичный комплекс был выявлен нами при исследовании железоникелевого катализатора для получения нанотрубок в электродуговом синтезе [7]. Разница между этими двумя соединениями выражается в изменениях параметра изомерного сдвига при переходе от Ni к Mg.

## Выводы

Исследование структурных превращений с помощью методов мёссбауэрской спектроскопии и рентгенодифракционного анализа показало, что исходный катализатор представляет собой высокодисперсную смесь двух соединений:  $\text{MgO}$  и ультрадисперсного  $\text{MgFe}_2\text{O}_4$ . После проведения пиролизного синтеза при температуре 900°C катализатор с образовавшимся на нем углеродным нанопродуктом представляет сложную смесь соединений. В процессе синтеза помимо образования углеродных нановолокон происходит большое количество химических превращений в катализаторе (внедрение в решетку  $\text{MgO}$  ионов Fe, образование карбидов  $\text{Fe}_3\text{C}$ ,  $\gamma\text{-Fe}$ , а также железоуглеродного соединения, которое мы определили как железомагнийграфитовый комплекс [7–8]).

Были выявлены инертные (твердый раствор на основе  $\text{MgO}$ ) и активные, очень мелкие частицы катализатора ( $\text{MgFe}_2\text{O}_4$ ), которые задействованы в процессе образования углеродных нановолокон, а также определен средний размер этих активных частиц.

Работа выполнена при поддержке РФФИ (грант 04-02-17417).

## Литература

1. Раков Э.Г. // Химическая технология. 2003. № 10. С. 2.
2. Трефилов В.И., Щур Д.В., Тарасов Б.П., Шульга Ю.М. Фуллерены — основа материалов будущего. Киев, 2001.
3. Morup S., Tronc E. // Phys. Rev. Lett. 1994. N 72. P. 3278.
4. Ария С.М., Бобрышева Н.П., Брач Б.Я., Смирнова Г.С. // ФТТ. 1971. **13**. С. 213.
5. Литвинов В.С., Каракишев С.Д., Овчинников В.В. Ядерная гамма-резонансная спектроскопия сплавов. М., 1982.
6. Zhao X., Ando Y. // Jpn. J. Appl. Phys. 1998. **37**. P. 4846.
7. Новакова А.А., Киселева Т.Ю., Ильина Ю.В. и др. // ISJAEE. 2004. N 3(11). P. 37.
8. Kiseleva T.Yu., Novakova A.A., Tarasov B.P., Muradyan V.E. // Hydrogen Materials Science and Chemistry of Carbon Nanomaterials. 2004. N 1. P. 153.